

УДК 621.315.592

© 1990

ВЛИЯНИЕ РАССЕЯНИЯ ДЫРОК НА ПОГЛОЩЕНИЕ ИНФРАКРАСНОГО ИЗЛУЧЕНИЯ В ПОЛУПРОВОДНИКАХ p -ТИПА С ВЫРОЖДЕННОЙ ВАЛЕНТНОЙ ЗОНОЙ

О. Э. Райчев

Теоретически изучено поглощение ИК излучения в дырочных полупроводниках с вырожденной валентной зоной при наличии рассеяния дырок на заряженных примесях, акустических и оптических фононах. Получена общая формула для коэффициента поглощения при наличии рассеяния, которая переходит в известное выражение для коэффициента поглощения при прямых переходах, если устремить к нулю вероятности рассеяния. Для случая низких температур (ему отвечает поглощение при не-прямых фотопереходах) получены аналитические зависимости коэффициента (сечения) поглощения от частоты кванта излучения, температуры и параметров полупроводника. В широком интервале температур и частот указанные зависимости рассчитывались численно для p -германия при различных значениях концентрации примесей.

1. Поглощение света в средней и дальней ИК областях в дырочных полупроводниках с вырожденными зонами типа p -Ge при достаточно высоких температурах $T \sim \varepsilon_n = \beta \hbar \omega / (1 - \beta)$ (ε_n — пороговая энергия тяжелой дырки, совершающей прямой межзонный фотопереход; $\hbar \omega$ — энергия кванта излучения; $\beta = m_2/m_1$ — отношение эффективных масс легкой и тяжелой дырок¹) обусловлено прямыми оптическими переходами носителей из зоны тяжелых в зону легких дырок [1]. При температурах $T \ll \varepsilon_n$ дырок, способных совершить прямой переход, экспоненциально мало и поглощение света определяется непрямыми фотопереходами дырок, на что указывалось в работах [2, 3].

Несмотря на то что поглощение ИК излучения в p -Ge исследуется как экспериментально, так и теоретически с 50-х годов [4-6], теория не-прямых переходов в полупроводниках с вырожденными зонами в настоящее время отсутствует. В принципе такую теорию можно строить, исходя из стандартной процедуры теории возмущений [7, 11, 5], хотя при этом возникают некоторые трудности, связанные с учетом множества элементарных процессов перехода (каналов) и интерференции этих каналов. Однако выражения для вероятности переходов, полученные таким способом, содержали бы расходимость, связанную с обращением в нуль энергетических знаменателей при

$$\varepsilon_{2k} - \varepsilon_{1k} = \hbar \omega, \quad (1)$$

т. е. при энергиях дырок, соответствующих прямым оптическим переходам. Причина появления этой расходимости заключена в некорректном подходе при использовании теории возмущений, когда не прямые и прямые переходы рассматриваются порознь. В действительности при энергиях дырок, близких к энергиям межзонного резонанса (условие (1)), прямые и не прямые переходы нельзя разделять, они должны рассматриваться

¹ Здесь и далее индекс «1» относится к зоне тяжелых, индекс «2» — к зоне легких дырок.

совместно. Только тогда можно получить правильное самосогласованное выражение для коэффициента (сечения) поглощения. Получение и исследование такого выражения являются задачей настоящей работы. Для ее реализации построена теория возмущений для одночастичной матрицы плотности дырок, взаимодействующих со светом, заряженными примесями, а также с акустическими и оптическими фононами. Получена в общем виде формула для коэффициента поглощения при наличии рассеяния. Выделены каналы, дающие наибольший вклад в поглощение при $\beta \ll 1$. Особо рассмотрен случай низких температур $T \ll \varepsilon_n$: получены аналитические выражения, описывающие парциальные вклады в сечение поглощения для каждого из рассматриваемых механизмов рассеяния — примеси, акустические и оптические фононы. При более высоких температурах, когда нельзя получить аналитические выражения, сечение поглощения рассчитывалось численно для p -Ge. Построены температурные и частотные зависимости сечения поглощения при различных значениях концентрации примесей.

2. При решении задачи будем исходить из квантового кинетического уравнения для оператора плотности $\hat{\eta}$

$$\frac{\partial \hat{\eta}}{\partial t} = -\frac{i}{\hbar} [\hat{H}, \hat{\eta}], \quad (2)$$

где гамильтониан \hat{H} имеет вид

$$\hat{H} = \hat{H}_e + \hat{H}_{ph} + \hat{V} + \hat{P} + \hat{\zeta}(t). \quad (3)$$

Здесь $\hat{H}_e = \sum_{n, \mathbf{k}} \varepsilon_{n\mathbf{k}} \hat{a}_{n\mathbf{k}}^+ \hat{a}_{n\mathbf{k}}$ — гамильтониан свободных дырок, индекс $n = 1\uparrow, 1\downarrow, 2\uparrow, 2\downarrow$ нумерует дырочные состояния; \mathbf{k} — волновой вектор дырки; $\hat{a}_{n\mathbf{k}}$ — оператор уничтожения дырки; $\hat{H}_{ph} = \sum_{\lambda, \mathbf{q}} \hbar \omega_{\lambda\mathbf{q}} \hat{\delta}_{\lambda\mathbf{q}}^+ \hat{\delta}_{\lambda\mathbf{q}}$ — гамильтониан свободных фононов: λ — поляризация фонона; \mathbf{q} — его волновой вектор; $\hat{\delta}_{\lambda\mathbf{q}}$ — оператор уничтожения фонона; \hat{V}, \hat{P} — операторы взаимодействия дырок с примесями и с фононами соответственно; $\hat{\zeta}(t)$ — оператор взаимодействия дырок с излучением. Матричные элементы операторов взаимодействия на дырочных состояниях, которым соответствуют собственные функции $|n, \mathbf{k}\rangle = F_{n\mu}(\mathbf{k}) e^{i\mathbf{k}\mathbf{r}}$ матричного гамильтониана Латтинжера $H_{\mu', \mu}$ [8], имеют вид

$$V_{\mathbf{k}'\mathbf{k}}^{n'n}(t) = -\frac{eE_0}{\omega} \delta_{\mathbf{k}'\mathbf{k}} v_{n'n}(\mathbf{k}) \sin \omega t, \quad (4)$$

$$V_{\mathbf{k}'\mathbf{k}}^{n'n} = \frac{4\pi e^2}{\kappa_0} \sqrt{\frac{N_I}{V}} \frac{I_{n'n}(\mathbf{k}', \mathbf{k})}{(\mathbf{k}' - \mathbf{k})^2 + q_0^2}, \quad (5)$$

$$P_{\mathbf{k}'\mathbf{k}}^{n'n} = \sum_{\lambda, \mathbf{q}} P_{\mathbf{k}'\mathbf{k}}^{n'n}(\lambda, \mathbf{q}) (\delta_{\lambda\mathbf{q}} \delta_{\mathbf{k}', \mathbf{k}+\mathbf{q}} + \delta_{\lambda\mathbf{q}}^+ \delta_{\mathbf{k}', \mathbf{k}-\mathbf{q}}), \quad (6)$$

где

$$v_{n'n}(\mathbf{k}) = \sum_{\mu', \mu} F_{n'\mu'}^*(\mathbf{k}) \frac{e}{\hbar} \frac{\partial H_{\mu', \mu}}{\partial \mathbf{k}} F_{n\mu}(\mathbf{k}) \quad (4a)$$

— скалярное произведение матричного элемента оператора скорости на вектор поляризации \mathbf{e} электрического поля света; E_0 — амплитуда этого поля; e — заряд электрона; ω — частота излучения; N_I — концентрация ионизованных примесей; V — объем кристалла; q_0 — обратная длина экранирования; κ_0 — статическая диэлектрическая проницаемость; $I_{n'n}(\mathbf{k}', \mathbf{k}) = \sum_{\mu} F_{n'\mu}^*(\mathbf{k}') F_{n\mu}(\mathbf{k})$ — интегралы перекрытия. Величины $P_{\mathbf{k}'\mathbf{k}}^{n'n}(\lambda, \mathbf{q})$ и $I_{n'n}(\mathbf{k}', \mathbf{k})$ вычисляются в [8, гл. 12], и мы не приводим здесь их явный вид.

Матричные элементы $v_{n'n}$ можно вычислить исходя из их определения (4а). Отметим, что в изотропном приближении

$$\begin{aligned} v_{11}(\mathbf{k}) &= v_{1\uparrow, 1\uparrow} = v_{1\downarrow, 1\downarrow} = \frac{\hbar k}{m_1} \cos(\widehat{\mathbf{k}\mathbf{e}}), \quad v_{22}(\mathbf{k}) = v_{2\uparrow, 2\uparrow} = v_{2\downarrow, 2\downarrow} = \\ &= \frac{\hbar k}{m_2} \cos(\widehat{\mathbf{k}\mathbf{e}}), \quad v_{1\uparrow, 1\downarrow} = v_{1\downarrow, 1\uparrow} = v_{2\uparrow, 2\downarrow} = v_{2\downarrow, 2\uparrow} = 0, \\ |v_{21}(\mathbf{k})|^2 &= |v_{2\uparrow, 1\uparrow}|^2 + |v_{2\downarrow, 1\uparrow}|^2 = \frac{3}{16} \left(\frac{m_1 - m_2}{m_1 m_2} \hbar k \right)^2 \sin^2(\widehat{\mathbf{k}\mathbf{e}}). \end{aligned} \quad (7)$$

Оператор плотности $\hat{\gamma}_l$ представим в виде произведения $\hat{\gamma}\hat{\delta}$, где $\hat{\gamma}$ — оператор плотности дырок, $\hat{\delta}$ — оператор плотности фононов. В пространстве дырочных состояний получим матрицу плотности $\rho_{n'n}(\mathbf{k})$, которую будем искать в виде

$$\rho_{n'n}(\mathbf{k}) = \delta_{n'n} \rho_n(\mathbf{k}) + \rho_{n'n}^{(+)}(\mathbf{k}) e^{i\omega t} + \rho_{n'n}^{(-)}(\mathbf{k}) e^{-i\omega t}. \quad (8)$$

Коэффициент поглощения света α выражается через компоненты этой матрицы согласно выражению

$$\alpha = \frac{4\pi e}{c \sqrt{\kappa} E_0 V} \sum_{n, n', \mathbf{k}} \text{Re} [v_{nn'}(\mathbf{k}) (\rho_{n'n}^{(+)}(\mathbf{k}) + \rho_{n'n}^{(-)}(\mathbf{k}))], \quad (9)$$

где κ — диэлектрическая проницаемость кристалла на частоте ω ; c — скорость света. Таким образом, для вычисления α необходимо найти величины $\rho_{n'n}^{(+)}$ и $\rho_{n'n}^{(-)}$. Это можно сделать, развивая теорию возмущений для оператора $\hat{\rho}$. Считая возмущением оператор $\hat{\gamma}(t) + \hat{U}$ ($\hat{U} = \hat{V} + \hat{P}$), приходим от уравнения (2) к уравнению

$$\begin{aligned} \frac{\delta \tilde{\rho}(t)}{\delta t} &\approx -\frac{i}{\hbar} [\tilde{\gamma}(t), \tilde{\rho}(t)] - \frac{1}{\hbar^2} \text{Sp} \left[\tilde{U}(t), \int_{-\infty}^t dt' e^{\delta t'} [\tilde{U}(t'), \tilde{\rho}(t') \tilde{\delta}] \right] + \\ &+ \frac{i}{\hbar^3} \text{Sp} \left[\tilde{U}(t), \int_{-\infty}^t dt' e^{\delta t'} \left[\tilde{\gamma}(t'), \int_{-\infty}^{t'} dt'' e^{\delta t''} [\tilde{U}(t''), \tilde{\rho}(t'') \tilde{\delta}] \right] \right], \end{aligned} \quad (10)$$

где все операторы записаны в представлении взаимодействия (это обстоятельство отражено волной сверху), $\delta \rightarrow +0$, шпур берется по фоновым состояниям. Операторное уравнение (10) сводится к системе уравнений для компонент ρ_n , $\rho_{n'n}^{(\pm)}$. Выражая $\rho_{n'n}^{(\pm)}$ через $\rho_n(\mathbf{k})$ и подставляя результат в (9), получим

$$\begin{aligned} \alpha &= \frac{4\pi^2 e^2}{c \sqrt{\kappa} \omega V} \sum_{\mathbf{k}, \mathbf{k}', n, m, a, b} \left\{ \frac{|v_{bn}(\mathbf{k})|^2 |V_{\mathbf{k}\mathbf{k}'}^{bn}|^2}{(\varepsilon_{n\mathbf{k}} - \varepsilon_{b\mathbf{k}} + \hbar\omega)^2 + (\hbar/\tau_{nb}^{(+)}(\mathbf{k}))^2} + \right. \\ &+ \frac{|v_{bm}(\mathbf{k}')|^2 |V_{\mathbf{k}'\mathbf{k}}^{bm}|^2}{(\varepsilon_{m\mathbf{k}'} - \varepsilon_{b\mathbf{k}'} - \hbar\omega)^2 + (\hbar/\tau_{mb}^{(-)}(\mathbf{k}'))^2} + [\Delta_{nb}^{(+)}(\mathbf{k}) \Delta_{na}^{(+)}(\mathbf{k}) \text{Re}(v_{bn}(\mathbf{k}) v_{na}(\mathbf{k}) V_{\mathbf{k}\mathbf{k}'}^{am} V_{\mathbf{k}'\mathbf{k}}^{bk}) + \\ &+ \Delta_{mb}^{(-)}(\mathbf{k}') \Delta_{ma}^{(-)}(\mathbf{k}') \text{Re}(v_{bm}(\mathbf{k}') v_{ma}(\mathbf{k}') V_{\mathbf{k}'\mathbf{k}}^{am} V_{\mathbf{k}\mathbf{k}'}^{bk})]_{a \neq b} + 2\Delta_{nb}^{(+)}(\mathbf{k}) \Delta_{na}^{(-)}(\mathbf{k}') \times \\ &\times \text{Re}(v_{bn}(\mathbf{k}) V_{\mathbf{k}\mathbf{k}'}^{na} v_{am}(\mathbf{k}') V_{\mathbf{k}'\mathbf{k}}^{mb}) \left. \right\} (\rho_n(\mathbf{k}) - \rho_m(\mathbf{k}')) \delta(\varepsilon_{n\mathbf{k}} - \varepsilon_{m\mathbf{k}'} + \hbar\omega) + \\ &+ \frac{4\pi^2 e^2}{c \sqrt{\kappa} \omega V} \sum_{\mathbf{k}, \mathbf{k}', \lambda, \mathbf{q}, n, m, a, b} \{V \rightarrow P(\lambda, \mathbf{q})\} [(\rho_n(\mathbf{k}) N_{\lambda\mathbf{q}} - \rho_m(\mathbf{k}') (N_{\lambda\mathbf{q}} + 1)) \delta_{\mathbf{k}', \mathbf{k}+\mathbf{q}} \delta(\varepsilon_{n\mathbf{k}} - \\ &- \varepsilon_{m\mathbf{k}'} + \hbar\omega_{\lambda\mathbf{q}} + \hbar\omega) + (\rho_n(\mathbf{k}) (N_{\lambda\mathbf{q}} + 1) - \rho_m(\mathbf{k}') N_{\lambda\mathbf{q}}) \delta_{\mathbf{k}', \mathbf{k}-\mathbf{q}} \times \\ &\times \delta(\varepsilon_{n\mathbf{k}} - \varepsilon_{m\mathbf{k}'} - \hbar\omega_{\lambda\mathbf{q}} + \hbar\omega)], \end{aligned} \quad (11)$$

где $\omega_{\lambda\mathbf{q}}$ — частоты фононов, $N_{\lambda\mathbf{q}}$ — их числа заполнения,

$$\Delta_{ij}^{(\pm)}(\mathbf{k}) = (\varepsilon_{i'\mathbf{k}} - \varepsilon_{i\mathbf{k}} \pm \hbar\omega) / [(\varepsilon_{i'\mathbf{k}} - \varepsilon_{i\mathbf{k}} \pm \hbar\omega)^2 + (\hbar/\tau_{ij}^{(\pm)}(\mathbf{k}))^2], \quad (12)$$

а времена $\tau_{i\pm}^{\pm}(\mathbf{k})$ определяются из выражений

$$\begin{aligned} \frac{1}{\tau_{i\pm}^{\pm}(\mathbf{k})} = & \frac{\pi}{\hbar} \sum_{n, \mathbf{k}'} |V_{\mathbf{k}\mathbf{k}'}^{i'n}|^2 \delta(\varepsilon_{n\mathbf{k}'} - \varepsilon_{i\mathbf{k}} \pm \hbar\omega) + |V_{\mathbf{k}\mathbf{k}'}^{i'n}|^2 \delta(\varepsilon_{i'\mathbf{k}} - \varepsilon_{n\mathbf{k}'} \pm \hbar\omega) + \\ & + \frac{\pi}{\hbar} \sum_{n, \mathbf{k}', \lambda, \mathbf{q}} |P_{\mathbf{k}\mathbf{k}'}^{i'n}(\lambda, \mathbf{q})|^2 [N_{\lambda\mathbf{q}} \delta_{\mathbf{k}', \mathbf{k}+\mathbf{q}} \delta(\varepsilon_{n\mathbf{k}'} - \varepsilon_{i\mathbf{k}} - \hbar\omega_{\lambda\mathbf{q}} \pm \hbar\omega) + (N_{\lambda\mathbf{q}} + 1) \times \\ & \times \delta_{\mathbf{k}', \mathbf{k}-\mathbf{q}} \delta(\varepsilon_{n\mathbf{k}'} - \varepsilon_{i\mathbf{k}} + \hbar\omega_{\lambda\mathbf{q}} \pm \hbar\omega)] + |P_{\mathbf{k}\mathbf{k}'}^{i'n}(\lambda, \mathbf{q})|^2 [N_{\lambda\mathbf{q}} \delta_{\mathbf{k}', \mathbf{k}+\mathbf{q}} \delta(\varepsilon_{i'\mathbf{k}} - \varepsilon_{n\mathbf{k}'} + \hbar\omega_{\lambda\mathbf{q}} \pm \\ & \pm \hbar\omega) + (N_{\lambda\mathbf{q}} + 1) \delta_{\mathbf{k}', \mathbf{k}-\mathbf{q}} \delta(\varepsilon_{i'\mathbf{k}} - \varepsilon_{n\mathbf{k}'} - \hbar\omega_{\lambda\mathbf{q}} \pm \hbar\omega)]. \end{aligned} \quad (13)$$

Величины $\rho_n(\mathbf{k})$ в свою очередь в стационарном случае определяются из интегральных уравнений

$$\begin{aligned} \frac{eE_0}{2\hbar\omega} \sum_{n'} [(p_{nn'}^{(+)}(\mathbf{k}) - p_{nn'}^{(-)}(\mathbf{k})) v_{n'u}(\mathbf{k}) - v_{nn'}(\mathbf{k}) (p_{nn'}^{(+)}(\mathbf{k}) - p_{nn'}^{(-)}(\mathbf{k}))] + \text{St}_I(\rho_n(\mathbf{k})) + \\ + \text{St}_{\text{ph}}(\rho_n(\mathbf{k})) = 0, \end{aligned} \quad (14)$$

где $\text{St}_I(\rho_n)$, $\text{St}_{\text{ph}}(\rho_n)$ — обычные интегралы столкновений: примесный и фононный соответственно. В дальнейшем мы ограничимся рассмотрением случая, когда излучение достаточно мало мощно и не приводит к разогреву дырочного газа. Это соответствует пренебрежению первым членом из левой части уравнения (14), после чего это уравнение легко решается, $\rho_n(\mathbf{k}) = f_{n\mathbf{k}}$, где $f_{n\mathbf{k}}$ — равновесные фермиевские функции распределения дырок.

Рассмотрим подробнее формулу (11), описывающую коэффициент поглощения при наличии рассеяния. Первая сумма из правой части (11) соответствует поглощению с участием примесей, а вторая — поглощению с участием фононов. Во избежание громоздких выражений во второй сумме не расписан в явном виде блок в фигурных скобках, он полностью аналогичен блоку из первой суммы с точностью до замен всех матричных элементов $V_{\mathbf{k}'\mathbf{k}}^{i'n}$ на $P_{\mathbf{k}'\mathbf{k}}^{i'n}(\lambda, \mathbf{q})$.

Как видно из (11), (12), учет диагональных по индексу зоны релаксационных добавок в энергетические знаменатели необходим лишь при весьма малых частотах $\omega \sim 1/\tau_{i\pm}^{\pm}(\mathbf{k})$. Что же касается недиагональных по индексу зоны добавок, то их учет является принципиальным, поскольку эти добавки устраняют расходимость, о которой говорилось выше. Легко убедиться, что эта «квазирасходимость» соответствует прямым межзонным переходам: если искусственно устремить $V_{\mathbf{k}'\mathbf{k}}^{i'n}$ и $P_{\mathbf{k}'\mathbf{k}}^{i'n}(\lambda, \mathbf{q})$ к нулю, из (11) с учетом (13) получим

$$\alpha = \frac{8\pi^2 e^2}{c \sqrt{x} \omega V} \sum_{\mathbf{k}} |v_{21}(\mathbf{k})|^2 (f_{1\mathbf{k}} - f_{2\mathbf{k}}) \delta(\varepsilon_{1\mathbf{k}} - \varepsilon_{2\mathbf{k}} + \hbar\omega), \quad (15)$$

т. е. известное выражение для коэффициента поглощения за счет прямых межзонных переходов [6]. Таким образом, формула (11) обобщает результат (15), учитывая влияние рассеяния дырок на поглощение света в полупроводниках p -типа с вырожденной валентной зоной. Это рассеяние, с одной стороны, приводит к возможности не прямых переходов и, таким образом, определяет поглощение при низких температурах. С другой стороны, рассеяние приводит к уширению линии прямого межзонного перехода («расплыванию» δ -функции из (15)) и тем самым влияет на поглощение даже при достаточно высоких температурах $T \sim \varepsilon_n$.

Необходимо отметить, что формулы (11)–(14) ввиду общности их вывода пригодны не только для вырожденной зоны, но и для любой многозонной модели. Естественно, все матричные элементы при этом должны быть вычислены на собственных функциях применяемой модели. Напомним также, что формула (11) была получена в одночастичном приближении и поэтому пригодна для невырожденного случая. Обобщение на случай вырождения можно провести путем приписывания статистических факторов типа $1 - \rho_i$ в соответствии с общими правилами.

3. Выражение (11) содержит вклады от множества элементарных процессов перехода (каналов). На рис. 1 изображены четыре диаграммы, схематически представляющие все возможные каналы с участием рассеяния на примесях и отвечающие первым двум слагаемым в фигурной скобке из первой суммы в правой части (11) (остальные слагаемые указанной суммы соответствуют интерференции этих каналов). Аналогичным образом могут быть изображены процессы с участием фононов. Каждая из диаграмм рис. 1 соответствует четырем различным типам перехода, поскольку промежуточные (виртуальные) состояния, обозначенные буквой v , могут относиться к зоне как тяжелых, так и легких дырок.

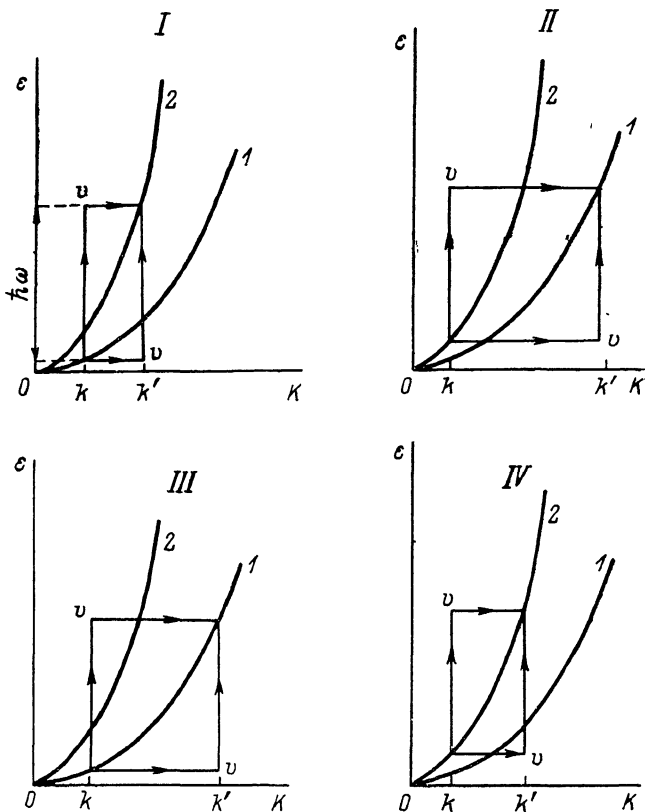


Рис. 1. Возможные типы непрямых переходов с участием примеси в дырочном полупроводнике с вырожденной валентной зоной.

В общем случае произвольного соотношения между m_1 и m_2 необходимо учитывать все слагаемые в формуле (11). Но в реально имеющей место ситуации, когда $\beta = m_2/m_1 \ll 1$, вычисление коэффициента поглощения заметно упрощается. Во-первых, можно пренебречь переходами из зоны легких дырок, т. е. всеми каналами на диаграммах II, IV. Во-вторых, при $\beta \ll 1$ вклады различных каналов в вероятность перехода могут существенно различаться и тогда можно выделить один или несколько доминирующих каналов, определяющих величину α . Например, для переходов с участием ионизованной примеси доминирующим каналом оказывается процесс на диаграмме I, идущий через виртуальное состояние $|1, k'\rangle$. В дальнейшем будем предполагать соотношение $\beta \ll 1$ выполненным.

Рассмотрим случай низких температур $T \ll \epsilon_n$. При вычислении α в этом случае можно считать $|k| \ll |k'|$. Тогда можно показать, что наибольший вклад в поглощение при переходах с участием примеси или акустического фонона дает канал на диаграмме I (рис. 1), идущий через

виртуальное состояние $|1, \mathbf{k}'\rangle$ ввиду малости энергетического знаменателя для этого процесса ($\varepsilon_{2\mathbf{k}'} - \varepsilon_{1\mathbf{k}'} - \hbar\omega$) $\simeq \beta\hbar\omega$. Вычислим парциальные вклады в низкотемпературный коэффициент поглощения, учитывая переходы по указанному каналу:

$$\alpha^{(I)} = \left(\frac{4\pi e^2}{\varepsilon_0}\right)^2 \frac{e^2 \hbar^2 m_1^2 n N_I}{c \sqrt{\kappa} (2m_2 \hbar\omega)^{7/2}}, \quad (16)$$

деформационные акустические фононы

$$\alpha^{(A)} = \frac{e^2 m_1^2 n}{c \sqrt{\kappa} \omega \hbar^3 m_2^2 \rho s_L} \left\{ \frac{(a-b)^2}{2} \left[\left(\exp \frac{\sqrt{2m_2 s_L^2 \hbar\omega}}{T} - 1 \right)^{-1} + \frac{1}{2} \right] + \frac{3}{4} b^2 \frac{s_L}{s_T} \left[\left(\exp \frac{\sqrt{2m_2 s_T^2 \hbar\omega}}{T} - 1 \right)^{-1} + \frac{1}{2} \right] \right\}. \quad (17)$$

Здесь n — концентрация тяжелых дырок; ρ — плотность кристалла; s_L, s_T — скорости продольного и поперечного звуков; a, b — константы деформационного потенциала вырожденной зоны [8]. Формулы (16), (17), так же как и результаты, излагаемые ниже, получены в изотропном приближении.

Справедливость формул (16), (17) нарушается, если рассеяние настолько сильное, что $\hbar/\tau_{21}^{-1}(\mathbf{k}') \sim \beta\hbar\omega$. Оценки для p -Ge показывают, что при $\hbar\omega = 0.13$ эВ это происходит уже при концентрации заряженных примесей $N_I > 10^{17}$ см $^{-3}$. Кроме того, при выводе (17) предполагалось, что $2m_1 s_L^2 \ll \beta\hbar\omega$ — это сильное неравенство выполняется в широком интервале частот ω .

Рассмотрим теперь переходы с участием оптического фонона. Указанной малости энергетического знаменателя для процесса $|1, \mathbf{k}\rangle \rightarrow |1, \mathbf{k}'\rangle \rightarrow |2, \mathbf{k}'\rangle$ здесь не возникает, поскольку ($\varepsilon_{2\mathbf{k}'} - \varepsilon_{1\mathbf{k}'} - \hbar\omega$) $\simeq (\beta\hbar\omega \pm \hbar\omega_0)$, где ω_0 — частота оптического фонона, а $\hbar\omega_0 > \beta\hbar\omega$ в актуальном интервале частот ω . Поэтому при вычислении парциальных вкладов в низкотемпературный коэффициент поглощения кроме отмеченного процесса необходимо учесть и другие процессы на диаграммах I, III (рис. 1). При рассмотрении взаимодействия дырок с деформационным потенциалом оптических фононов в гомеополярных кристаллах (Si, Ge) вклады от трех оптических ветвей можно объединить. Тогда получим для деформационных оптических фононов

$$\alpha^{(DO)} = \frac{e^2 m_1^{1/2} \Gamma^2 n}{2\sqrt{2} c \sqrt{\kappa} (\hbar\omega)^{3/2} \hbar\omega_0 \bar{\rho}} \left\{ N_0 \left(1 + \frac{\omega_0}{\omega}\right)^{3/2} \left[\frac{8}{3} (1 + \beta^{1/2}) + \beta^{1/2} \left(\frac{\omega_0}{\omega} (1 - \beta) - \beta\right)^{-2} + \left(1 + \frac{\omega_0}{\omega} (1 - \beta)\right)^{-2} + \frac{3}{2} \frac{T}{\beta^2 (\hbar\omega + \hbar\omega_0)} \right] + (N_0 + 1) \left(1 - \frac{\omega_0}{\omega}\right)^{3/2} \left[\frac{8}{3} (1 + \beta^{1/2}) + \beta^{1/2} \left(\frac{\omega_0}{\omega} (1 - \beta) + \beta\right)^{-2} + \left(1 - \frac{\omega_0}{\omega} (1 - \beta)\right)^{-2} + \frac{3}{2} \frac{T}{\beta^2 (\hbar\omega - \hbar\omega_0)} \right] \right\}, \quad (18)$$

где $\bar{\rho}$ — плотность приведенной массы, Γ — константа деформационного потенциала [8]. В гетерополярных кристаллах (GaAs, InSb и т. п.) взаимодействие дырок с поляризационным потенциалом оптических фононов является, как правило, более сильным, чем деформационное взаимодействие. Имеем для полярных оптических фононов

$$\alpha^{(PO)} = \frac{\pi e^4 \hbar\omega_1 n}{2\sqrt{2} c \sqrt{\kappa} m_2^{1/2} (\hbar\omega)^{3/2} \kappa^*} \left\{ N_I \left(1 + \frac{\omega_I}{\omega}\right)^{1/2} \left[\frac{8}{3} (1 + \beta^{1/2}) + \left(\frac{\omega_I}{\omega} (1 - \beta) - \beta\right)^{-2} + \beta^{1/2} \left(1 + \frac{\omega_I}{\omega} (1 - \beta)\right)^{-2} + \frac{3}{2} \frac{T}{\beta^{3/2} (\hbar\omega + \hbar\omega_I)} \right] + (N_I + 1) \left(1 - \frac{\omega_I}{\omega}\right)^{1/2} \left[\frac{8}{3} (1 + \beta^{1/2}) + \left(\frac{\omega_I}{\omega} (1 - \beta) + \beta\right)^{-2} + \beta^{1/2} \left(1 - \frac{\omega_I}{\omega} (1 - \beta)\right)^{-2} + \frac{3}{2} \frac{T}{\beta^{3/2} (\hbar\omega - \hbar\omega_I)} \right] \right\}, \quad (19)$$

где ω_i — частота продольного оптического фонона, $\chi^* = (\chi_\infty^{-1} - \chi_0^{-1})^{-1}$, χ_∞ — высокочастотная диэлектрическая проницаемость.

При температурах ниже 4.2 К дырочный газ может оказаться вырожденным. Формулы (16)–(19) пригодны и для этого случая, если энергия Ферми много меньше ε_n .

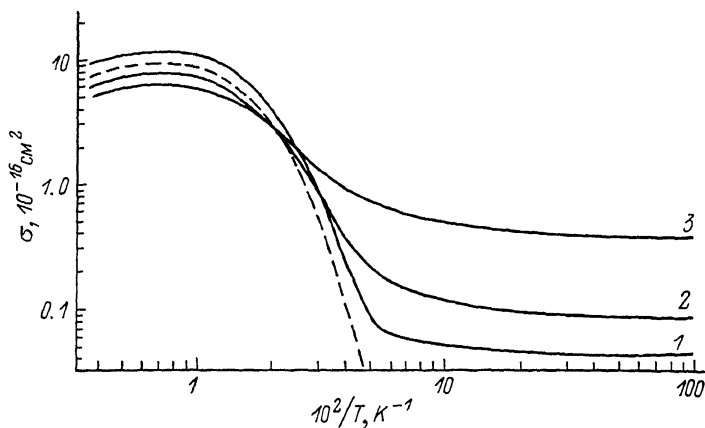


Рис. 2. Температурные зависимости сечения поглощения при $\hbar\omega = 0.13$ эВ и $N_I = 0$ (1), 10^{16} (2), 10^{17} см $^{-3}$ (3).

Производя оценки сечения поглощения $\sigma = \alpha/n$ по формулам (16)–(18) для *p*-Ge при $\hbar\omega = 0.13$ эВ, $N_I = 10^{17}$ см $^{-3}$, $T \rightarrow 0$ получим $\sigma^{(I)} \simeq 0.4 \cdot 10^{-16}$, $\sigma^{(A)} \simeq 0.2 \cdot 10^{-18}$, $\sigma^{(DO)} \simeq 0.4 \cdot 10^{-17}$ см 2 . Видно, что при $N_I > 10^{16}$ см $^{-3}$ и $\hbar\omega < 0.13$ эВ определяющий вклад в поглощение вносят переходы с участием заряженной примеси. Приведенные оценки сечения

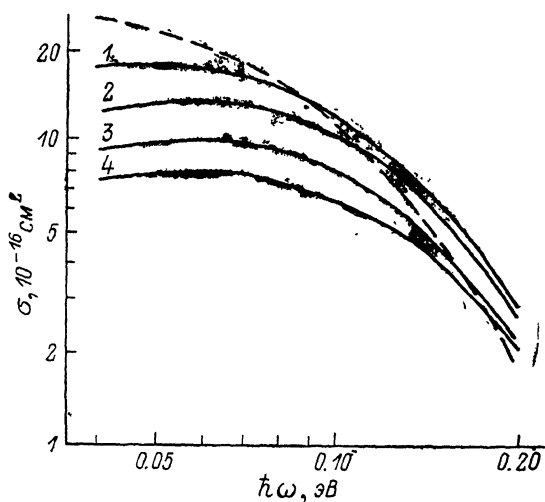


Рис. 3. Частотные зависимости сечения поглощения при $T = 77$ К и $N_I = 0$ (1), 10^{15} (2), 10^{16} (3) и 10^{17} см $^{-3}$ (4).

Штриховая линия — расчет по формуле (15).

поглощения по порядку величины согласуются с экспериментальными значениями из [3] (несколько бо́льшая величина последних, по-видимому, связана с дополнительным вкладом в сечение поглощения за счет переходов носителей с акцепторов в валентную зону).

С ростом температуры, когда существенный вклад в поглощение начинают вносить фотопереходы дырок из области вблизи ε_n , формулы (16)–(19) перестают быть справедливыми. В этом случае нельзя провести до конца аналитическое интегрирование в (11), поэтому интегрирование

производилось численно с использованием параметров германия. Радиус экранирования потенциала заряженных примесей оценивался по Коуэлл—Вайскопфу. На рис. 2 показаны температурные зависимости сечения поглощения при $\hbar\omega=0.13$ эВ (энергия кванта излучения CO_2 лазера) и различных концентрациях заряженных примесей. Штриховой линией показан результат вычисления по формуле (15), отвечающей, как отмечалось выше, полному отсутствию рассеяния. Наиболее сильные отличия поглощения с рассеянием от поглощения без рассеяния имеют место при низких температурах, где поглощение определяется непрямыми переходами (см. формулы (16)—(18)) и выходит на насыщение при $T \rightarrow 0$. Но и при высоких температурах наблюдаются отличия (тем большие, чем больше концентрация примесей и, следовательно, сильнее рассеяние). Указанные отличия также видны на частотных зависимостях сечения поглощения, рассчитанных при $T=77$ К (рис. 3), особенно в области малых частот, где сильнее проявляются эффекты уширения за счет рассеяния дырок на примесях и фононах.

Автор приносит благодарность З. С. Грибникову и В. Т. Васьюко за поддержку работы и полезные обсуждения.

Список литературы

- [1] Фэн Х. Оптические свойства полупроводников. М., 1970. 485 с.
- [2] Грибников З. С., Железняк В. Б. // ФТП. 1987. Т. 21. № 5. С. 785—791.
- [3] Васецкий В. М., Порошин В. Н., Сарбей О. Г., Саркисян Э. С. // ФТП. 1988. Т. 12. № 9. С. 1610—1613.
- [4] Kaiser W., Collins R. J., Fan H. Y. // Phys. Rev. 1953. V 91. N 6. P. 1380—1381.
- [5] Briggs H. B., Fletcher R. C. // Phys. Rev. 1953. V. 91. N 6. P. 1342—1346.
- [6] Kahn A. H. // Phys. Rev. 1955. V. 97. N 6. P. 1647—1652.
- [7] Ридли Б. Квантовые процессы в полупроводниках. М.: Мир, 1986. 304 с.
- [8] Гантмахер В. Ф., Левинсон И. Б. Рассеяние носителей тока в металлах и полупроводниках. М., 1984. 352 с.

Институт полупроводников АН УССР
Киев

Поступило в Редакцию
11 декабря 1989 г.